FIG.1

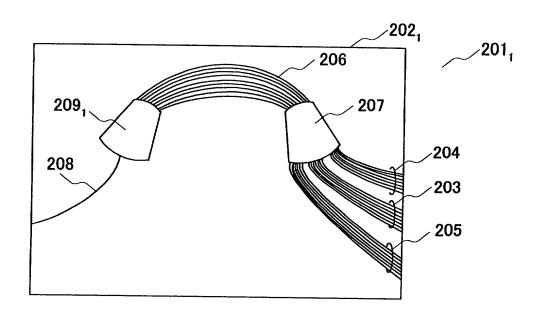


FIG.2

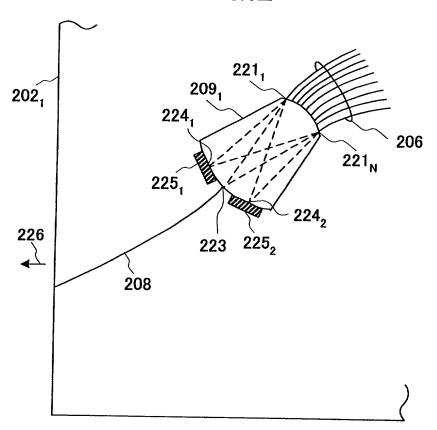


FIG.3

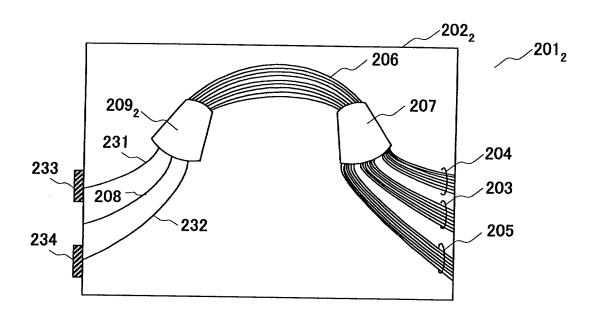


FIG.4

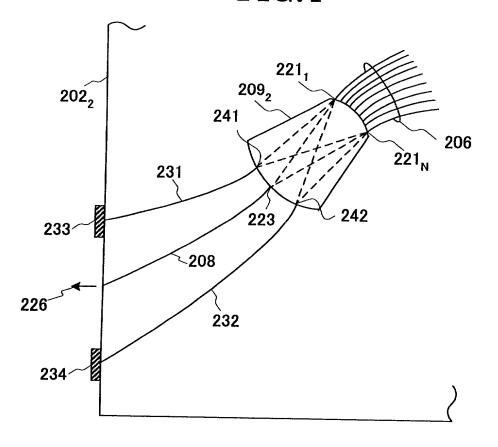


FIG.5

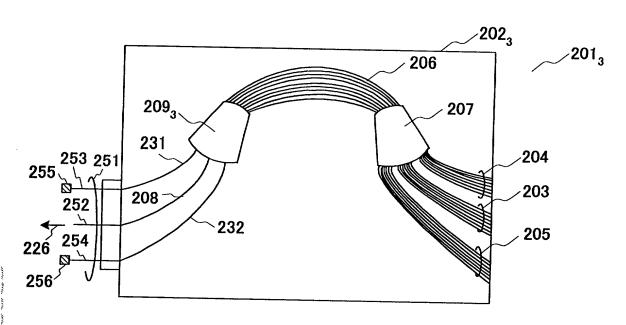
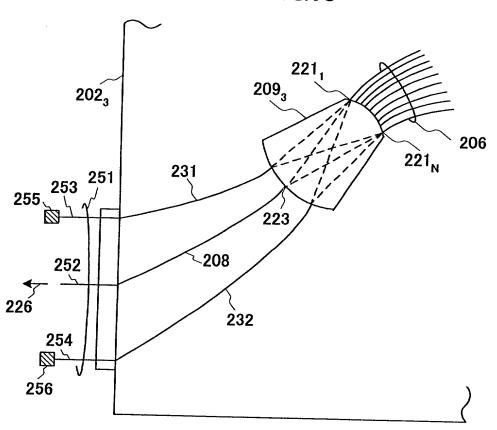


FIG.6



The state of the s

FIG.7

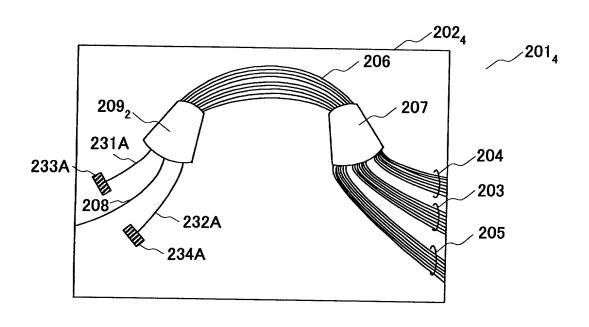


FIG.8

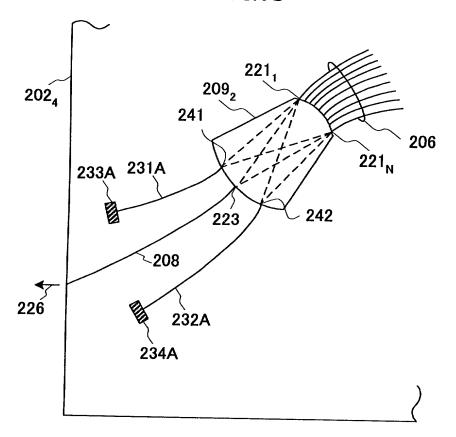


FIG.9

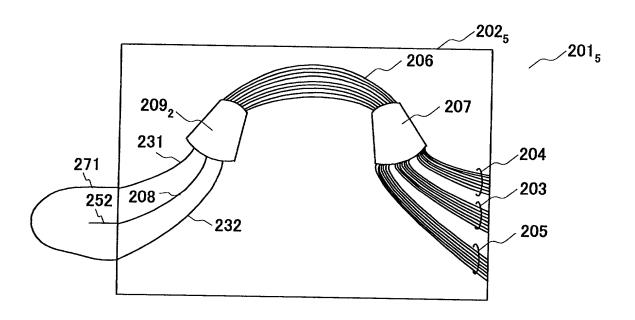


FIG.10

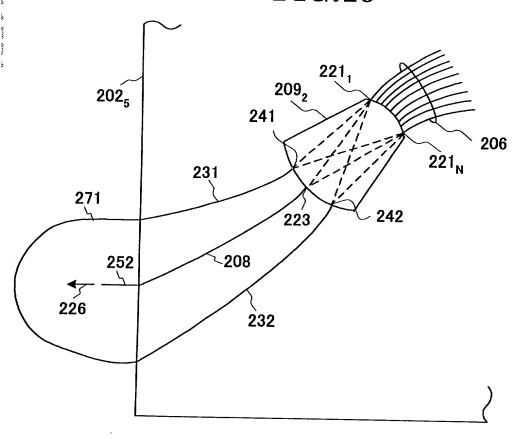


FIG.11

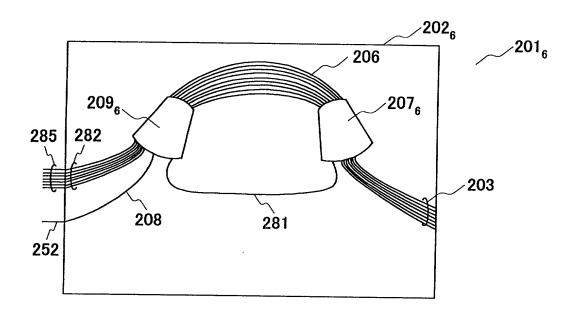


FIG.12

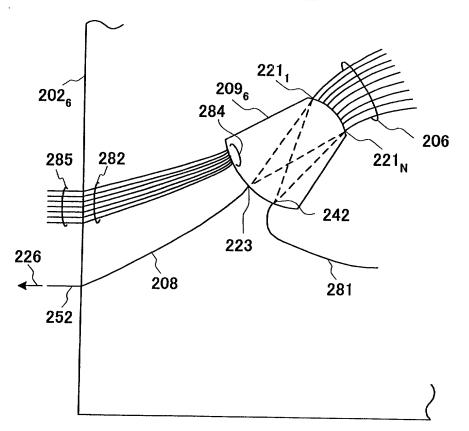


FIG.13

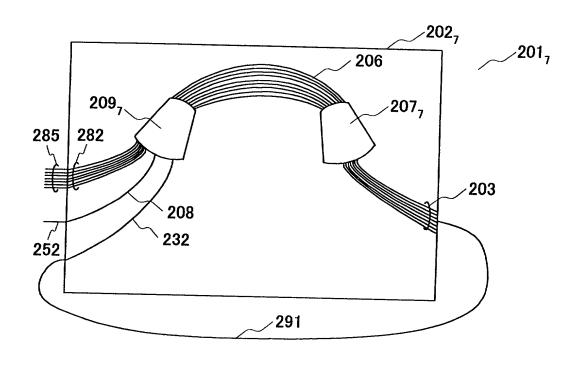


FIG.14

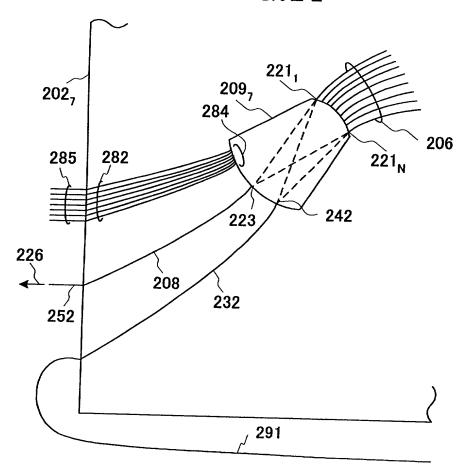
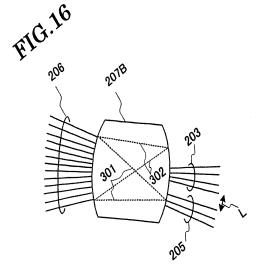


FIG. 16



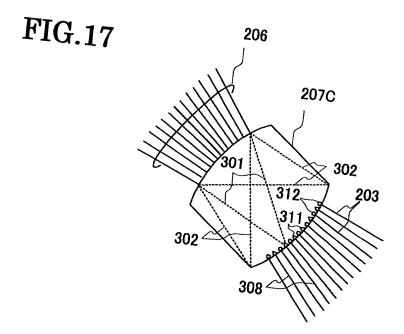


FIG.18

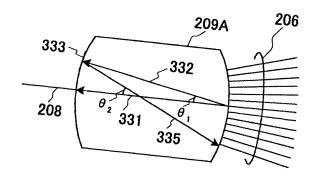
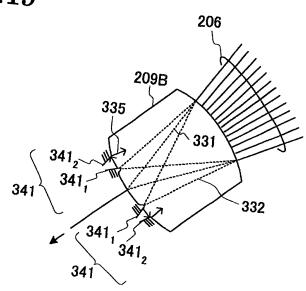


FIG.19



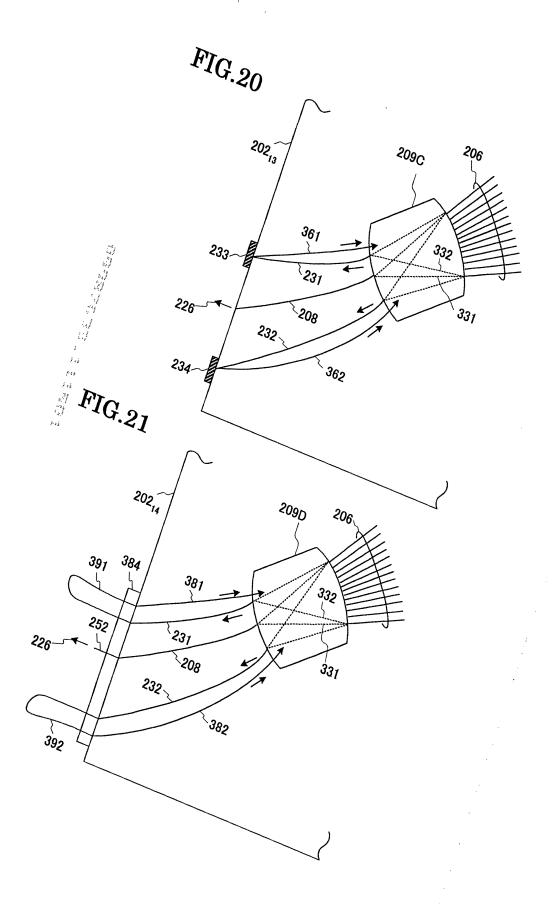


FIG.22

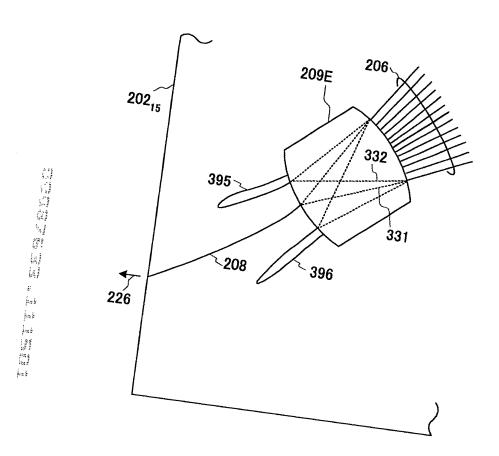


FIG.23

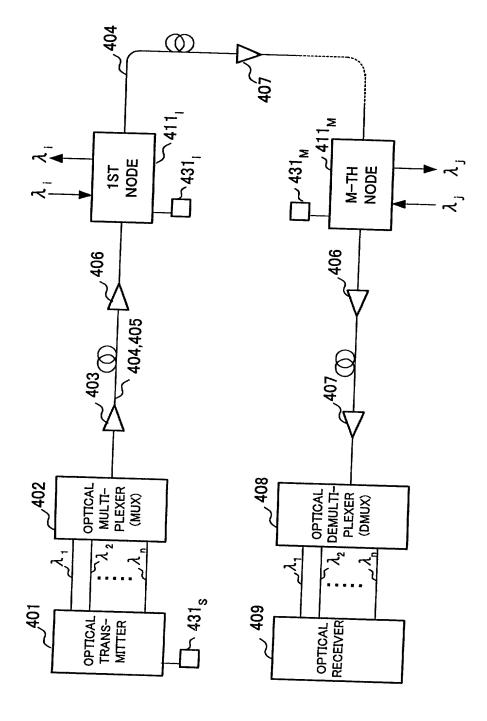


FIG.24

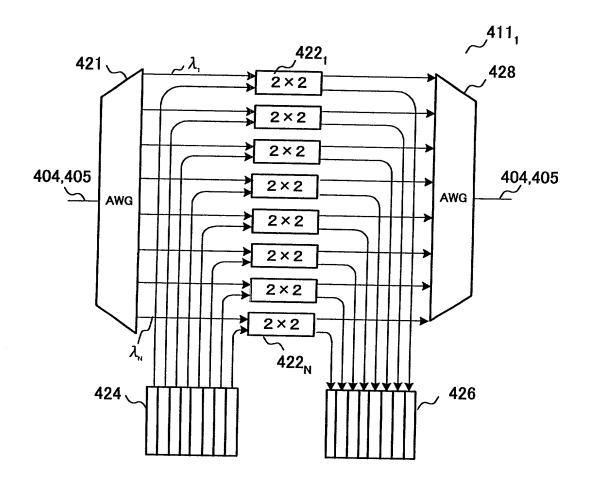


FIG.25

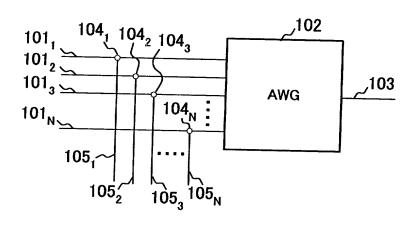


FIG.26

